

휴대전화기용 아연공기전지 개발

엄승욱, 김지훈, 문성인, 윤문수, 김주용*, 박정식*

한국전기연구원, *성남전자공업(주)

Development of Zinc Air Battery for Cellular Phone

Seung Wook Eom, Jee Hoon Kim, Seong In Moon, Mun Soo Yun, Ju Yong Kim, and Jeong Sik Park

Abstract

Zinc air batteries obtain their energy density advantage over the other batteries by utilizing ambient oxygen as the cathode materials, and reusing cathode as recycled form. And specific capacity of zinc powder is as high as 820mAh/g.

Our research team succeeded in producing 2.4 Ah class zinc air battery for cellular phone application. In this paper we had studied performance of cathode according to various factors and demonstrated the performance of 2.4 Ah class zinc air battery for cellular phone application.

Key Words : Zinc Air batteries, Cellular phone, cathode, power

1. 서 론

아연공기전지는 공기 중의 산소를 양극 활물질로 사용하며 아연을 음극 활물질로 사용하기 때문에 환경친화적이며, 제작단가가 적게 소요되고 안전성이 다른 종류의 전지에 비해서 월등히 우수한 장점을 가진다. 또한 공기 중의 산소는 무한대로 공급되며 음극의 아연은 이론용량이 약 820 mAh/g으로 매우 높기 때문에 높은 에너지밀도를 제공할 수 있는 특징을 가진다. 그러나 이러한 많은 장점에도 불구하고 아연공기전지의 이용 분야는 보청기용으로만 제한적으로 사용되어져 왔었는데, 이는 기본적으로 온도와 습도 등 주위 환경에 영향을 쉽게 받는다는 점과 산소의 환원 반응을 이용한다는 전지 반응 메커니즘 상 산소의 환원반응 속도와 관련된 활성화 과정에 따른 내부저항 (Activation loss, η_{act})의 증가로 인하여 고출력을 내기 힘들다는

치명적인 단점을 가지고 있었기 때문이다.

그러나 비표면적이 매우 높은 활성탄을 이용한 전극제조 기술이 발달하면서 서서히 출력에 대한 약점이 보완되어가고 있으며 음극 쪽에서의 아연분말 제조공정이 개선되면서 아연공기전지도 다른 종류의 전이와 마찬가지로 휴대기기용 전원에 응용하려는 노력이 점차 전개되어지고 있는 추세이다.

1999년 이스라엘의 Electric Fuel사 (현재 이름은 Arotech)는 3000 mAh급의 휴대전화기용 전지팩(일회용)을 개발하여 상용화에 성공하였으며, 미국의 AER Energy사 또한 휴대전화기 및 노트북 PC용 전원을 개발한 바 있다. 그 외에도 중국의 Power Zinc사는 전기스쿠터 및 전기자동차용 전원을 개발하고 있으며 독일의 ZOXY사는 UPS용 전지를 개발하는 등 과거와는 달리 다양한 용도의 사용을 목적으로 연구개발을 진행 중이다.

한편 최근의 휴대전자기기 발달과 함께 이들의 전원으로 사용되는 전지 시장과 그 적용 영역이 급속한 확장 추세에 있으며, 현재 리튬이온전지를 중심으로 한 2차전지가 휴대전화, 노트북, 캠코더 등의 주

전원으로 각광 받으며 사용되고 있다. 특히 충전할 수 있는 환경이 주어지지 않는 곳에서의 사용이나, 외부에서 장시간 사용될 필요가 있는 등 제약된 환경에서도 휴대전자기기의 사용이 가능하기 위해서는 아연공기전지와 같이 고 에너지밀도를 제공하는 전지를 개발하여 경제적인 가격으로 공급되어질 필요성이 있다.

따라서 본 연구에서는 휴대전화기의 전원으로 사용하기 위한 아연공기전지 개발에 주안점을 두고 전지의 작동전압 및 출력특성을 향상시키기 위해 아연공기전지용 cathode에 가장 적합한 재료와 최적의 조성을 연구하였으며 휴대전화기용 전원으로서의 시제품 제조를 위하여 단위전지를 설계, 제작하였고 이를 단위전지 4개를 직렬 연결하여 전지팩을 제조하였다.

2. 실험 방법

2.1 양극 (Cathode)의 제조

산소의 환원 촉매로서는 MnO_2 ($<44\mu m$, 92.15 %, ERACHEM)를 사용하였으며, 촉매가 고정될 수 있는 site의 제공과 산소가 공급될 수 있도록 미세 유로를 제공해 주는 역할을 하는 활성탄으로서 Darco G-60 (중심입도 $18\mu m$, BET $853\text{ m}^2/\text{g}$, American Norit)을 사용하였다.

여기에 전극의 전자전도 path를 원활히 해주기 위한 도전재로서 Super P black(MMM carbon)을 첨가하였으며 바인더로서는 PTFE 혼탁액 ($0.05\sim 0.5\mu m$, 60 %, PTFE 30-J, Dupont)을 사용하였다. 표 1에는 본 연구에서 양극을 제조하기 위해 사용한 각종 재료들의 종류와 물성을 나타내었다.

표 1 양극제조에 사용된 재료.

Table 1 Cathode materials.

재료	제조 회사	용도
MnO_2	ERACHEM	촉매
Darco G-60	American Norit	활성탄
Super P Black	MMM carbon	도전재
PTFE Dispersion	Dupont	결합제

양극의 제조는 그림 1과 같이 PTFE 혼탁액, 활성탄, 촉매인 MnO_2 , 도전재의 순서로 증류수에 혼합하여 고속교반기(Carframo BDC 6015, Canada)로 2시간 동안 2000rpm으로 교반하였다.

혼합된 slurry를 110°C 오븐에서 완전히 건조시킨 후 Iso-propyl alcohol을 첨가하여 반죽하였다. 이후 Roll press를 이용하여 kneading 공정을 거친 후 $400\mu m$ 두께의 sheet를 제조, Ni mesh에 압착하여 $400\sim 450\mu m$ 의 전극을 제조하였다. 제조된 cathode에 첨가된 Iso-propyl alcohol을 제거하기 위해 100°C 오븐에서 24시간 건조하였다.

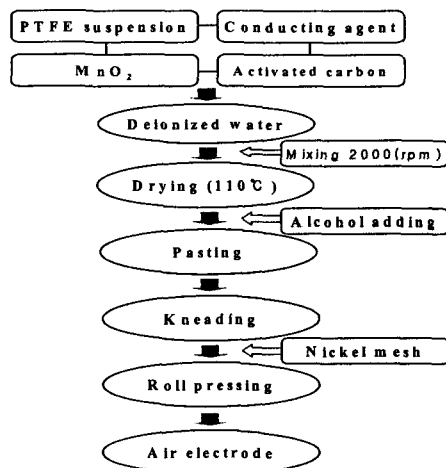


그림 1 양극제조공정.

Fig. 1 Manufacturing process of cathode.

2.2 음극 (Anode)의 제조

음극의 주요 반응물질은 아연분말로서 전해액으로 사용되는 8.5M KOH 수용액과 혼합하여 제조하였다. 여기에 전해액이 흐르는 것을 막아주고 아연분말의 성형성을 도와주는 'gelling agent'를 첨가하게 되는데 본 연구에서는 'Carbopol'이라는 상품명으로 판매되는 Poly (acrylic acid)를 사용하였다.

Zinc gel의 제조는 표 2의 혼합 비율로 그림 2와 같이 8.5M의 KOH 수용액에 gelling agent를 혼합하여 800 rpm으로 3시간 동안 교반하였다. 교반이 끝난 후 여기에 아연분말을 혼합하여 zinc gel을 제조하였다.

표 2 음극제조에 사용된 재료 및 조성비.

Table 2 Anode materials.

Zinc powder	Gelling agent	KOH solution
74 (wt%)	0.5 (wt%)	25.5 (wt%)

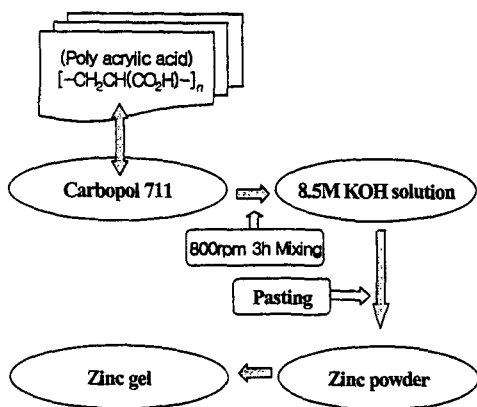


그림 2 음극제조공정

Fig. 2 Manufacturing process of Anode.

2.3 Half cell 및 단위전지 제조

양극의 전기적인 특성평가는 위한 LSV(Linear Sweep Voltammetry)측정을 위해 half cell의 조립은 그림 3과 같이 유리관 및 테프론을 이용 가공하여 제작하였다.

기준전극으로는 SHE(standard hydrogen electrode)에 대해 0.098V인 표준 산화수은전극 (Koslow Scientific Co. USA)을 사용하였고 제조된 양극의 상대전극으로는 Pt mesh를 등근 모양으로 말아서 사용하였다. 전해액은 8.5M KOH 수용액을 제조하여 사용하였다.

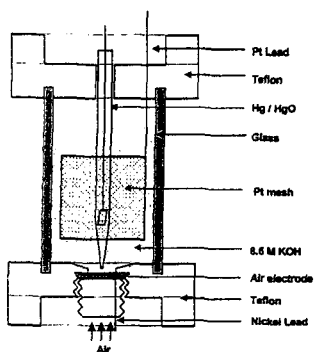


그림 3 Half Cell 구조.

Fig. 3 Structure of Half cell.

Full cell의 조립은 $2.5 \times 2.0 \times 0.4$ (cm^3)의 STS can 안에 2.7g의 zinc gel을 담고 그 위에 친수 처리된 격리막 (Celgard 3501), Nickel mesh를 집전체로

사용하여 제조된 cathode ($2.5 \times 2.0 \text{ cm}^2$), PTFE membrane, 부직포 등을 차례로 올려놓은 후 산소 흡입 홀이 있는 top cap을 씌워 그림 4와 같이 단위전지를 조립하였다.

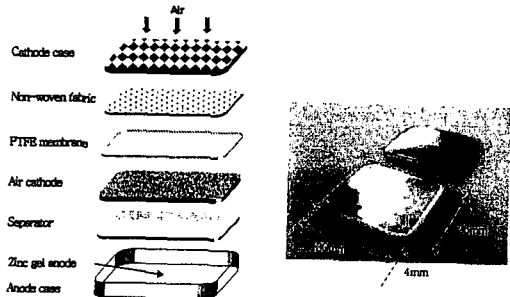


그림 4 단위전지 개략도.

Fig. 4 Schematic drawing of unit cell.

2.4 특성평가 방법

전지특성평가는 항온, 항습(20°C , 40%이하)이 되는 환경에서 전류밀도를 50 , 100mA/cm^2 으로 변화시켜 방전하였으며 cut off voltage는 0.7V 로 하였다. 또한 저울방전과 고울방전을 동시에 행하는 방전으로 저울방전에서는 전류밀도 50mA/cm^2 , 방전시간 4.5ms , 고울방전에서는 전류밀도 250mA/cm^2 , 방전시간 0.5ms 로 GSM(Global System for Mobile)펄스 방전을 하였다.

아연공기전지의 저항은 다른 전지와는 달리 그림 5와 같이 순수한 전기적인 IR 강하와 산소의 환원 반응 속도와 관계를 가지는 activation loss를 복합적으로 가지고 있다. IR 강하는 전극의 전기적 저항성분과 전해질의 이온 이동 속도에 의해 지배를 받으며 이 성분에 의해 강하되는 전압은 $\Delta V = IR$ 의 관계를 갖는다. 이러한 저항을 낮추기 위해서는 전지의 전자전도성을 높여야 하는데 이를 위해서는 전극재료의 고전도성 물질 채용 등으로 해결해야 한다.

한편 촉매의 활성화에 관계되는 저항성분인 activation loss는 $\Delta V = A \ln(i/i_0)$ 의 식으로 표현된다. 이의 해결 방안으로 첫째는 전지의 온도를 높여 주는 방법이고, 둘째는 효과적인 반응 촉매를 사용하는 것이며, 셋째는 전극 표면을 보다 거칠게 제조하여 반응 표면적을 넓혀 주는 방법이다. 아연 공기전지에서는 산소의 환원반응 속도와 관계를 가지는 activation loss에 지배적인 영향을 받고 있어 전지를 제조하였을 때 activation loss 값이 적은 전

지의 출력특성이 우수하게 나타난다. 또한 cathode 내의 다공성이 높을수록 촉매의 활성화가 높아져 activation loss값이 낮아진다. 따라서 순수한 전기적인 IR 강하와 산소의 환원반응 속도와 관계를 가지는 activation loss를 그림 5와 같이 측정하였다.

방전하고 있는 전지의 전류를 차단시켜 전압의 회복 그래프를 보면 그림 5와 같이 수직으로 회복하는 구간의 ΔV 가 순수한 전기적인 IR 강하이며 서서히 회복되는 구간이 산소의 환원반응 속도와 관계를 가지는 activation loss구간이다. 아연공기전지에서는 전기적인 IR 강하보다 activation loss구간이 큰 것을 볼 수가 있었다.

양극의 전기화학적 특성시험은 LSV(Linear Sweep Voltammetry) 기법을 이용하였다. 시험장비는 Potentiostat /Galvanostate (M273, EG&G)를 이용하여 시험하였으며 scan rate는 2mv/s로 하였다. LSV는 cathode에 인가되는 전압을 변화시켜 cathode에 인가 할 수 있는 최대전류밀도를 측정할 수 있으며 cut off voltage는 -0.7(V)로 하였다.

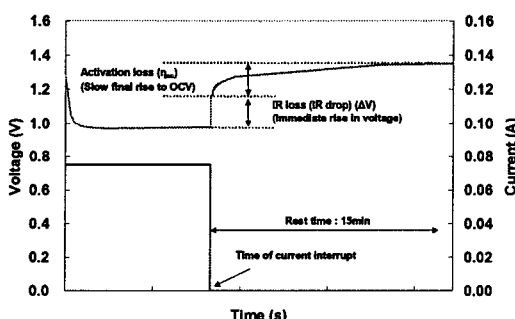


그림 5 Current interrupt 방법에 의한 전압, 전류 거동.

Fig. 5 The profile of voltage and current according to Current interrupt method.

3. 실험 결과

3.1 도전재의 영향

아연공기전지는 고출력 방전에 취약한 단점이 있다. 따라서 고출력으로 방전할 때의 내부저항에 의한 전압강하를 보완해 주기 위하여 도전재로서 Super P black을 사용하였다. 그림 6은 도전재의 함량에 따른 각 전류밀도별 전지의 출력특성을 나타낸 것으로서 5 wt%의 도전재를 사용하였을 때

최대 출력을 나타내는 것을 알 수 있다. 이의 원인은 전지의 출력 특성이 전기적인 저항에만 영향을 받는 것이 아니라 산소의 환원반응 속도에 더 많은 영향을 받기 때문이다. 즉 그림 7과 같이 Current interrupt method로부터 얻은 양극의 Activation loss가 도전재 함량 5 wt%일 때 가장 적었기 때문이다.

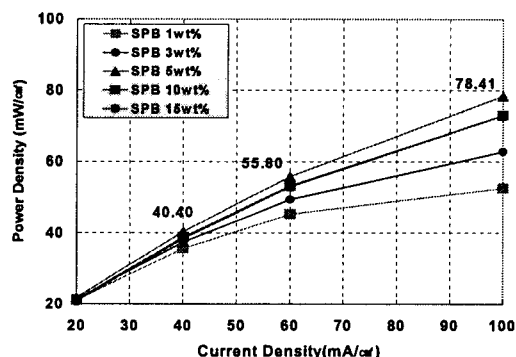


그림 6 도전재 함량에 따른 전지의 출력특성.

Fig. 6 Power density according to contents ratio of conducting material.

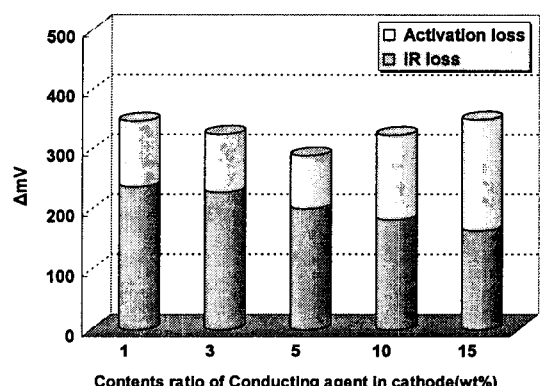


그림 7 양극의 도전재 함량에 따른 IR loss & activation loss

Fig. 7 IR loss & activation loss of cathode according to contents ratio of conducting material.

3.2 결합제의 영향

양극의 구조를 지지하고 전해액으로부터의 소수성을 유지하기 위한 방법으로 결합제로서 PTFE를

사용하였다. 결합제를 많이 사용하면 전극의 강도는 분명히 좋아질 것이다. 그러나 그에 상응하는 결과로서 전극의 구조가 치밀해져서 기공이 감소하는 결과를 초래한다. 그럼 8은 결합제의 양을 달리 하였을 때의 전지성능을 나타낸 것으로서 5 wt%의 결합제를 사용하였을 때 가장 우수한 성능을 나타내었으며 그 이하의 양을 사용하였을 때는 전극의 성형이 어려워 최적의 결합제 함량은 5 wt%인 것으로 판단된다.

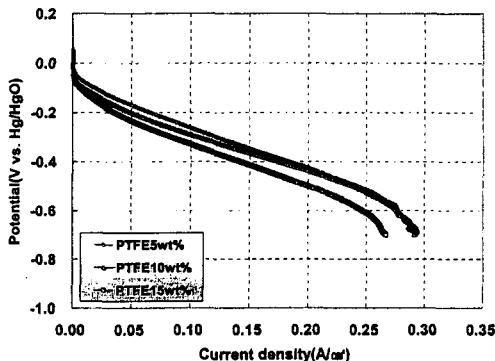


그림 8 양극 내 PTFE 함량에 따른 방전율별 전지성능

Fig. 8 Variations of cathode performance according to contents ratio of binder.

3.3 단위전지 및 전지팩의 제작 및 평가

본 연구의 결과물로서 단위전지 및 휴대전화기용 전지팩을 설계 및 제작하였다. 단위전지는 그림 9에 나타낸 바와 같이 공간 활용 효율성이 높은 각형 모양의 전지를 설계·제작하였다.



그림 9 아연공기전지 단위전지 시제품 (1.2 V 2.4 Ah)

Fig. 9 Unit cell (1.2 V 2.4 Ah)

개발된 전지의 정격은 1.2 V 2.4 Ah, 중량에너지밀도는 308 Wh/kg이며 체적에너지밀도는 920 Wh/l로서 이는 그림 10에 나타낸 바와 같이 체적

에너지밀도 기준으로 기존의 리튬2차전지 (ICR 18650)의 2배 정도에 해당하며 같은 1차전지인 알칼리 망간전지 (LR03, LR 6)와 비교하면 3배정도 높은 수치에 해당한다.

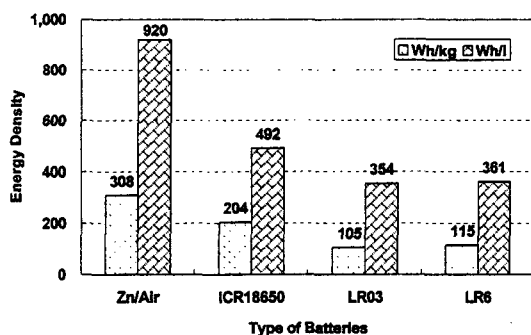


그림 10 타 전지와의 에너지밀도 비교

Fig. 10 Comparison of energy density with other batteries

개발된 아연공기 단위전지의 평균방전전압이 1.2 V이기 때문에 이를 휴대전화기용 전원으로 사용하기 위해서 4 cell을 직렬 연결하였다. 그림 11은 휴대전화기용 전지팩 내부의 모습을 찍은 사진으로서 단위전지 4개를 2중으로 쪽충하여 배치하였다.

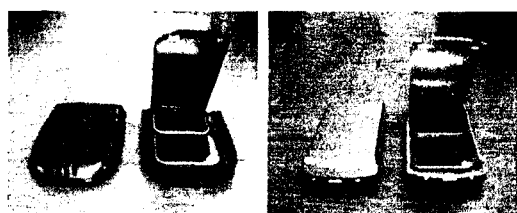


그림 11 휴대전화기용 아연공기전지팩 시제품 (3.6 V 2.4 Ah)

Fig. 11 Zinc air battery for cellular phone (3.6 V 2.4 Ah)

그림 12는 전류밀도를 20, 50, 100 mA/cm²로 각각 변화시켜 개발된 아연공기 전지팩의 방전성능을 시험한 성능그래프이다. 가장 적은 20 mA/cm²의 전류밀도로 방전하였을 경우 약 2.4 Ah의 방전용량을 나타내었으며, 가장 큰 전류밀도인 100 mA/cm²로 방전하였을 경우 약 2.1Ah 정도의 용량을 나타

내어 전류밀도에 따른 용량 변화가 그리 크지 않은 것을 알 수 있었다.

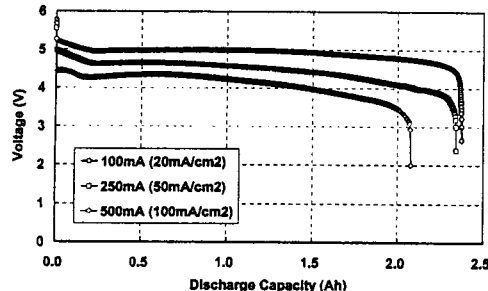


그림 12 아연공기 전지팩의 전류밀도별 방전 성능

Fig. 12 Discharge performance according to discharge current

한편 본 연구에서 개발된 전지는 휴대전화기용 전원으로서 응용할 계획이다. 휴대전화기의 방전모드는 정전류에 의한 방전이 아니라 그림 13과 같은 펄스 부하에 의한 방전이 이루어진다. 따라서 실제 응용되는 부하에 대한 성능을 알아보기 위하여 250 mA/cm²의 고전류밀도로 0.5 ms 동안 방전하고, 50 mA/cm²의 전전류밀도로 4.5 ms 동안 방전하는 과정을 반복하여 방전성능을 시험하였다. 그림 13의 결과에서 알 수 있듯이 방전종료 직전까지 휴대전화기의 작동 가능 전압인 3.0 V 이상의 전압을 유지하는 것을 알 수 있다. 따라서 개발된 전지는 휴대전화기에 충분히 가능한 성능을 나타냄을 알 수 있었다.

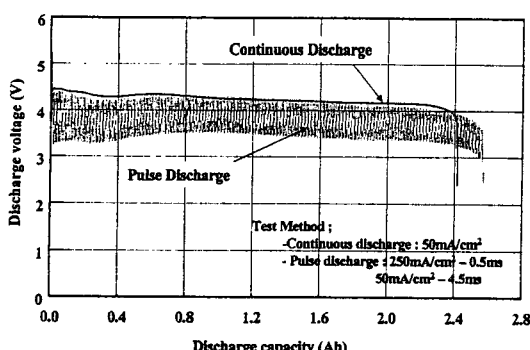


그림 13 아연공기 전지팩의 펄스방전성능

Fig. 13 Pulse discharge performance of battery

4. 결 론

본 연구에서는 휴대전화기의 전원용으로 개발하기 위하여 아연공기전지의 각 구성요소별 특성을 검토하였으며 가장 적합한 구성 재료와 최적의 조성을 연구하였다. 본 연구를 통하여 개발된 단위전지의 정격은 1.2 V 2.4 Ah, 중량에너지밀도는 308 Wh/kg이며 체적에너지밀도는 920 Wh/l로서 이는 체적에너지밀도 기준으로 기존의 리튬2차전지 (ICR 18650)의 2배 정도에 해당하며 같은 1차전지인 알칼리 망간전지 (LR03, LR 6)와 비교하면 3배정도 높은 수치에 해당한다.

참 고 문 헌

- [1] 문성인, 엄승욱, 김지훈, "Development of disposable Zn/Air battery for cellular phone", 산업기반기술개발사업 최종보고서, pp. 1, 2004.
- [2] Dennis Sieminski, "Small Fuel Cells and battery technologies for portable power applications", The Knowledge Foundation's 3RD annual international symposium, p. 72, 2001.
- [3] Chun-Chen Yang, Sheng-Jen Lin, "Improvement of high-rate capability of alkaline Zn-MnO₂ battery", Journal of power Sources, vol. 112, pp. 174-183, 2002.
- [4] Dabid Linden, "Zinc /Air Cells", Hand book of batteries, pp. 13.2-13.4, 1995.
- [5] T. R. Crompton, "Metal-air cells", Battery Reference Book, pp. 59.1 2000.
- [6] 김지훈, 엄승욱, 문성인, 윤문수, 김주용, 육경창, 박정후, "도전재 종류 및 함량에 따른 아연공기전지의 cathode 특성연구", 한국전기화학회 학회지, Vol. 5, No. 2, p. 74, 2002.
- [7] 김지훈, 엄승욱, 문성인, 윤문수, 김주용, 육경창, 박정후, "MnO₂ 입자크기에 따른 아연공기전지의 특성연구", 한국전기전자재료학회 2002 학계학술대회논문집, p. 1129, 2002.
- [8] 김지훈, 엄승욱, 문성인, 윤문수, 김주용, 육경창, 박정후, "PTFE 함량에 따른 아연공기전지의 Cathode 특성연구", 한국전기화학회 학회지, Vol. 6, No. 3, p. 203, 2002.